



## 第五章

# 场效应管放大电路

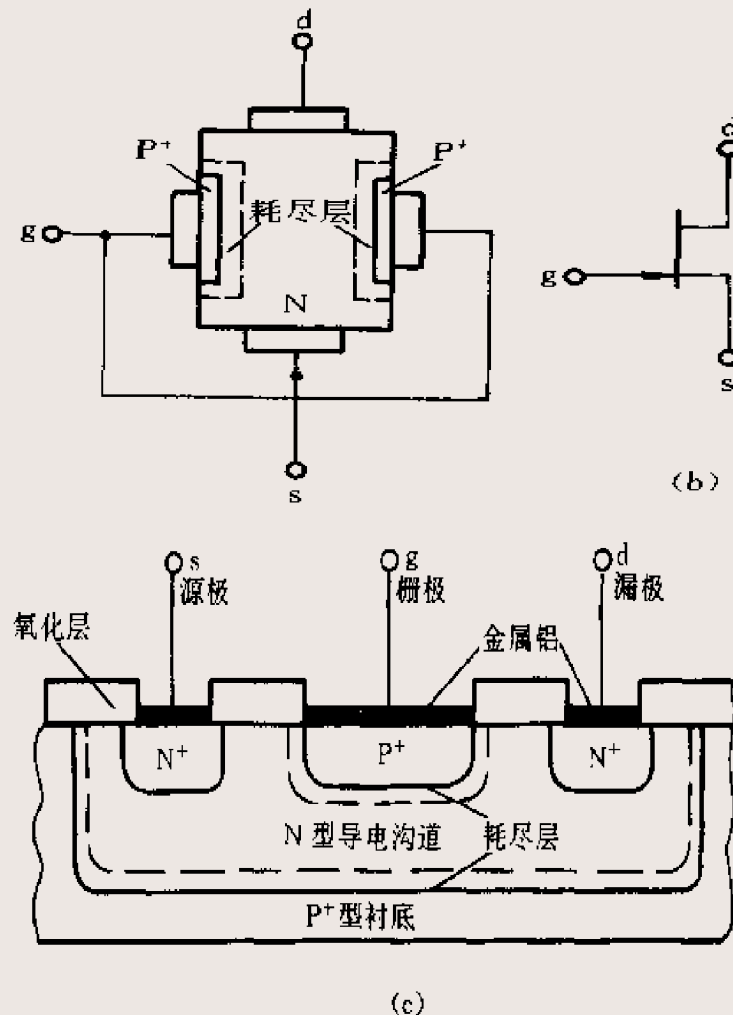
2010年4月23日

# 场效应管

- ❖ 场效应管是一种利用电场效应来控制其电流大小的半导体器件。
- ❖ 特点是耗电省、寿命长，输入阻抗高、噪声低、热稳定性好、抗辐射能力强、制造工艺简单。它的应用范围广，特别是在大规模和超大规模集成电路中得到了广泛的应用。
- ❖ 根据结构的不同，场效应管可分为三大类：
  1. 结型场效应管(JFET)
  2. 金属-氧化物-半导体场效应管(MOSFET)
  3. 砷化镓金属-半导体场效应管

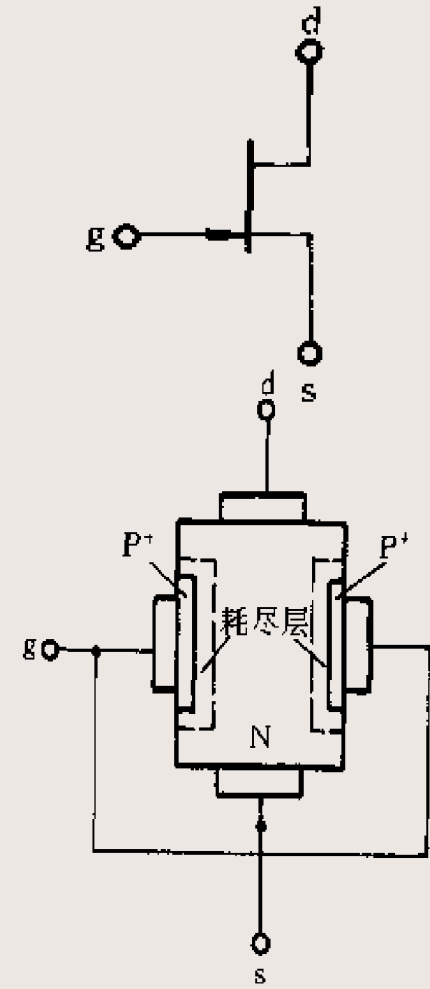
# § 5-1 结型场效应管JFET

- JFET利用半导体内的电场效应进行工作，称为体内场效应器件。
- 在一块N型半导体材料两边扩散高浓度的P型区，形成两个PN结。两边P型区引出两个欧姆接触电极连在一起称为栅极g，在N型本体材料的两端各引出一个电极，分别称为源极s和漏极d。
- 两个PN结中间的N型区域称为导电沟道。



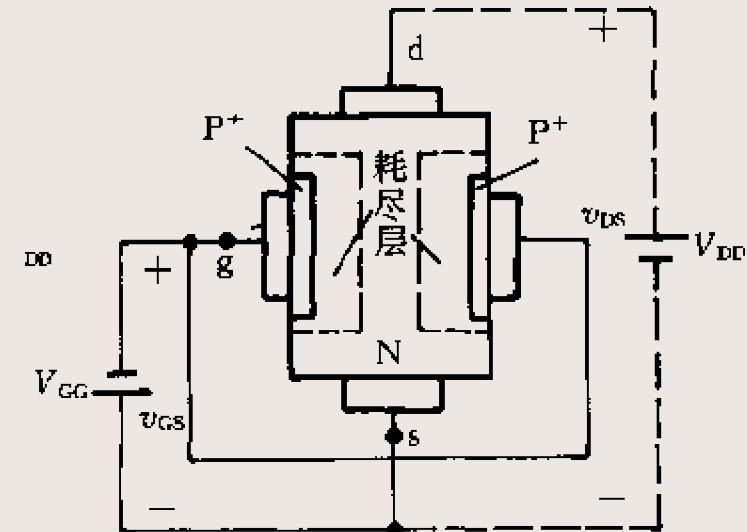
# N型沟道JFET工作原理

- ❖ 代表符号如右图，箭头的方向表示栅结正向偏置时，栅极电流的方向是由P指向N，故从符号上就可识别d、s之间是N沟道。
- ❖ N沟道JFET工作时，在**栅极**与源极间需加负电压( $v_{GS} < 0$ )，使栅极、沟道间的PN结反偏，栅极电流 $i_G \approx 0$ ，场效应管呈现高达 $10^7\Omega$ 以上的输入电阻。
- ❖ 在**漏极**与源极间加正电压( $v_{DS} > 0$ )，使N沟道中的多数载流子(电子)在电场作用下由源极向漏极运动，形成电流 $i_D$ 。 $i_D$ 的大小受 $v_{GS}$ 控制。



# $V_{GS}$ 对 $i_D$ 的控制作用

- ◆ 当 $v_{GS}$ 由零向负值增大时，在反偏电压 $v_{GS}$ 作用下，两个PN结的耗尽层将加宽，使导电沟道变窄，沟道电阻增大。当 $v_{GS}$ 增大到某一值 $|V_F|$ ，两侧耗尽层将在中间合拢，沟道全部被夹断，此时漏源极间的电阻将趋于无穷大，相应的栅源电压称为夹断电压 $V_P$ 。
- ◆ 改变 $v_{GS}$ 的大小，可以有效地控制沟道电阻的大小。若在漏源极间加上固定的正向电压 $v_{DS}$ ，则由漏极流向源极的电流 $i_D$ 将受 $v_{GS}$ 的控制。

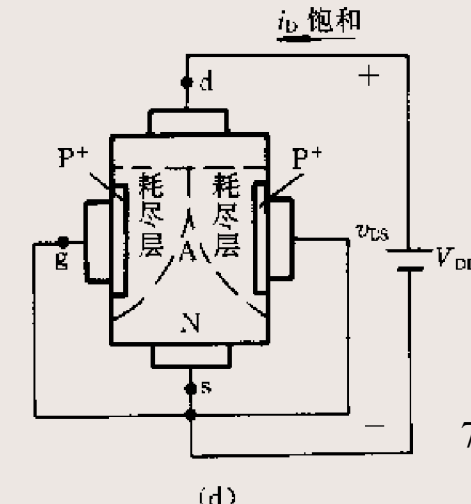
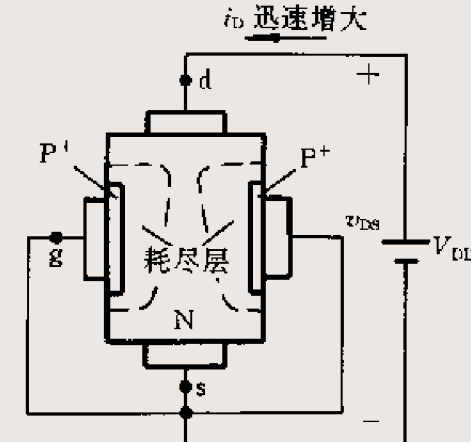
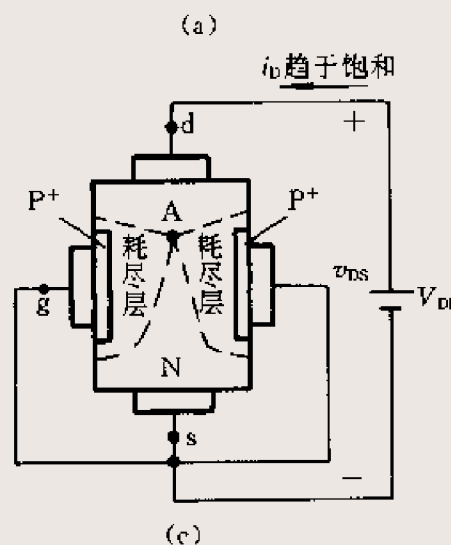
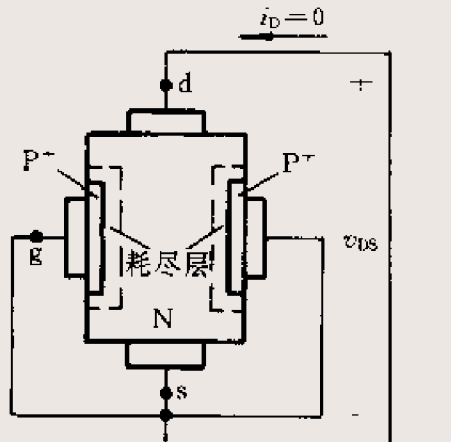


# $v_{DS}$ 对 $i_D$ 的影响

- ❖ 当 $v_{DS}=0$ 时， $i_D=0$ 。
- ❖ 随着 $v_{DS}$ 逐渐增加，一方面沟道电场强度加大，有利于漏极电流 $i_D$ 增加；但有了 $v_{DS}$ ，就在由源极经沟道到漏极组成的N型半导体区域中，产生了一个沿沟道的电位梯度。沟道区的电位差则从靠源端的零电位逐渐升高到靠近漏端的 $v_{DS}$ 。
- ❖ 在从源端到漏端的不同位置上，栅极与沟道之间的电位差是不相等的，离源极愈远，电位差愈大，加到该处PN结的反向电压也愈大，耗尽层也愈向中心扩展，使靠近漏极处的导电沟道比靠近源极要窄。所以增加 $v_{DS}$ ，又产生了阻碍漏极电流 $i_D$ 提高的因素。
- ❖ 在 $v_{DS}$ 较小时，导电沟道靠近漏端区域仍较宽，这时阻碍的因素是次要的，故 $i_D$ 随 $v_{DS}$ 升高成正比地增大。

# $V_{DS}$ 对 $i_D$ 的影响

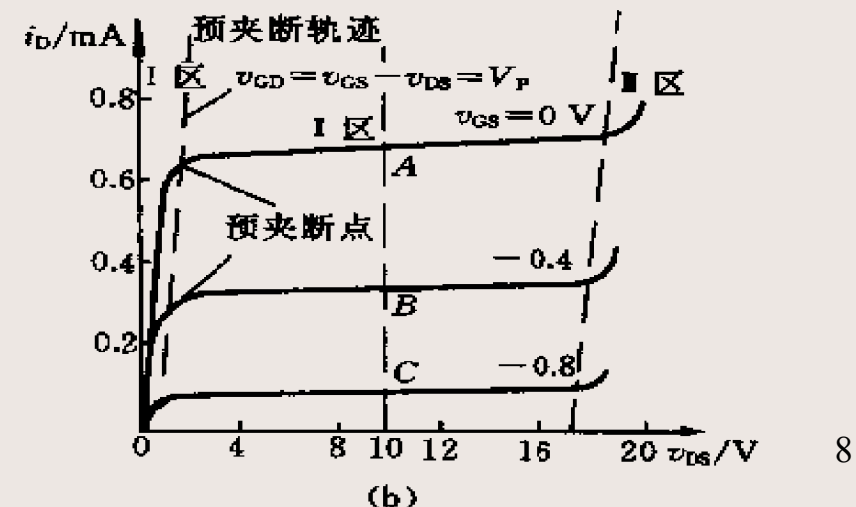
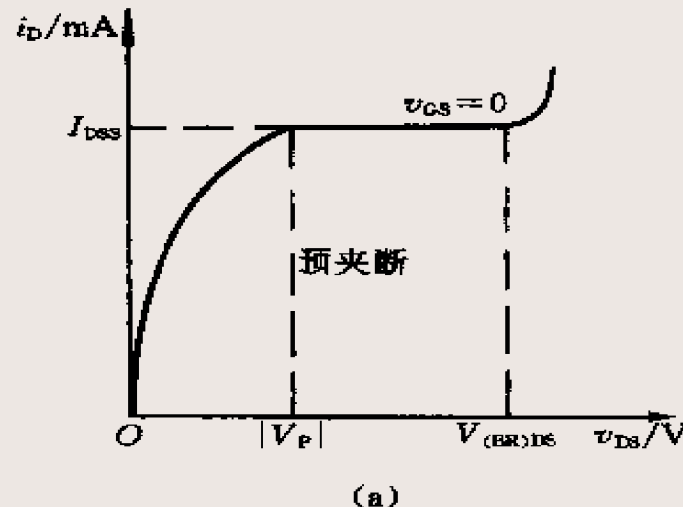
- ❖ 当  $v_{DS}$  继续增加，使漏栅间的电位差加大，靠近漏端电位差最大，耗尽层也最宽。
- ❖ 当两耗尽层在 A 点相遇时，称为预夹断，A 点耗尽层两边的电位差用夹断电压  $V_P$  来描述。



$$v_{GD} = v_{GS} - v_{DS} = V_P$$

# N沟道JFET的输出特性

- ◆ 沟道在A点预夹断后，随着 $v_{DS}$ 上升，夹断长度会略有增加。但由于夹断处场强也增大，仍能将电子拉过夹断区形成漏极电流。
- ◆ 在从源极到夹断处的沟道上，沟道内电场基本上不随 $v_{DS}$ 改变而变化。所以， $i_D$ 基本上不再随 $v_{DS}$ 增加而上升，漏极电流趋于饱和。



# JFET特点

❖ 综上分析，可得下述结论：

1. JFET栅极、沟道之间的PN结是反向偏置的，电阻很高。
2. JFET是电压控制电流器件， $i_D$ 受  $v_{GS}$  控制。
3. 预夹断前， $i_D$ 与  $v_{DS}$  呈近似线性关系，预夹断后， $i_D$ 趋于饱和。

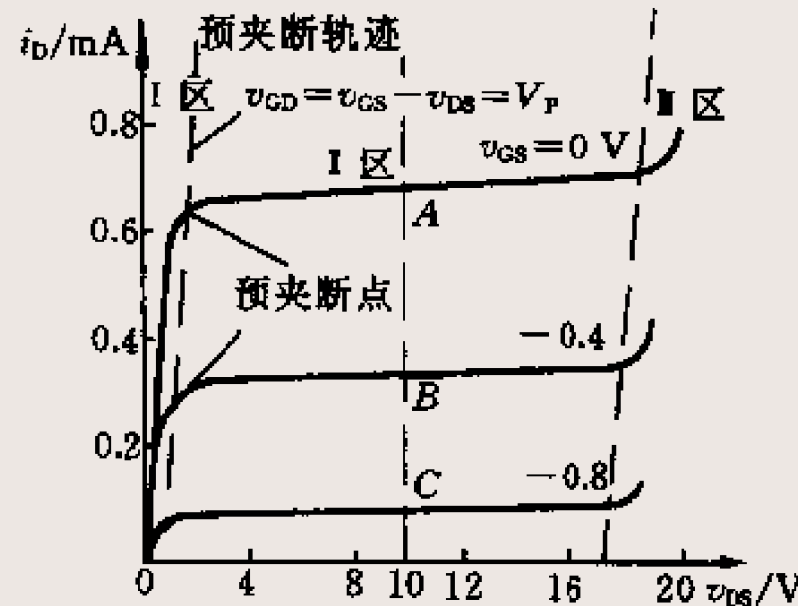
# JFET的特性曲线

## 1. 输出特性

- ◆ JFET的输出特性是指在栅源电压 $v_{GS}$ 一定的情况下，漏极电流 $i_D$ 与漏源电压 $v_{DS}$ 之间的关系，即

$$i_D = f(v_{DS}) \Big|_{v_{GS}=\text{常数}}$$

JFET的工作情况可分为三个区域。



# JFET的特性曲线

- ❖ 在I区内，栅源电压愈负，输出特性愈倾斜，漏源间的等效电阻愈大。因此，在I区中，FET可看作一个受栅源电压 $v_{GS}$ 控制的可变电阻，故得名为可变电阻区。

$$i_D = K_n [2(v_{GS} - V_P)v_{DS} - v_{DS}^2]$$

- ❖ II区称为饱和区或恒流区，FET用作放大电路时，一般就工作在这个区域，称为线性放大区。

$$i_D = K_n (v_{GS} - V_P)^2 = I_{DSS} \left(1 - \frac{v_{GS}}{V_P}\right)^2$$

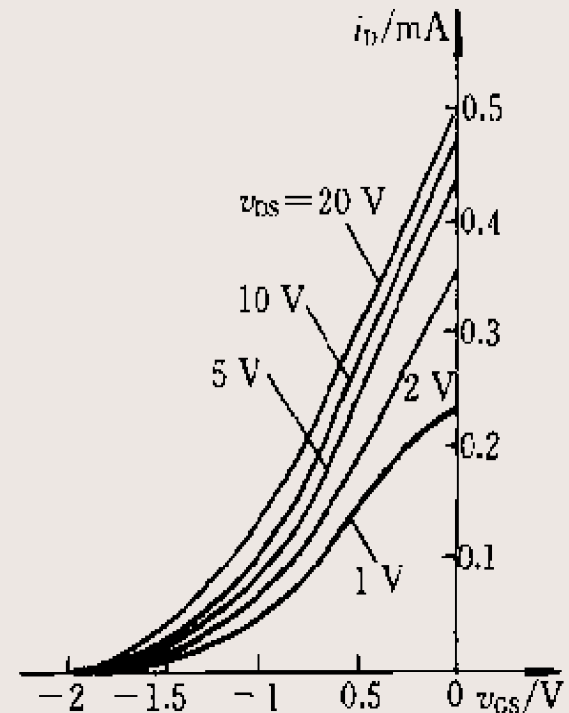
- ❖ III区的特点是，当 $v_{DS}$ 增至一定的数值，由于加到沟道中耗尽层的电压太高，电场很强，致使栅漏间的PN结发生雪崩击穿， $i_D$ 迅速上升，称为击穿区。
- ❖ 当 $v_{GS} < v_P$ 时， $i_D = 0$ 称为截止区。

# JFET的特性曲线

## 2. 转移特性

- ◆ JFET是电压控制器件，由于栅极输入端基本上没有电流，故讨论它的输入特性没有意义。
- ◆ 所谓转移特性是在一定漏源电压 $v_{DS}$ 下，栅源电压 $v_{GS}$ 对漏极电流 $i_D$ 的控制特性，即

$$i_D = f(v_{GS}) \Big| v_{DS} = \text{常数}$$



# JFET主要参数

## (1) 夹断电压 $V_P$

当  $v_{DS}$  为某一固定值时，使  $i_D$  等于一个微小的电流时，栅源之间所加的电压称为夹断电压， $v_{GS}=V_P$ 。

## (2) 饱和漏电流 $I_{DSS}$

在  $v_{GS}=0$  的情况下，当  $v_{DS} > |V_P|$  时的漏极电流称为饱和漏电流  $I_{DSS}$

## (3) 最大漏源电压 $V_{(BR)DS}$

$V_{(BR)DS}$  是指发生雪崩击穿、 $i_D$  开始急剧上升时的  $v_{DS}$  值。由于加到 PN 结上的反向偏压与  $v_{GS}$  有关，因此  $v_{GS}$  愈负， $V_{(BR)DS}$  越小。

## (4) 最大栅源电压 $V_{(BR)GS}$

$V_{(BR)GS}$  是指输入 PN 结反向电流开始急剧增加时的  $v_{GS}$  值。

# JFET主要参数

(5) 直流输入电阻  $R_{GS}$

在漏源之间短路的条件下，**栅源**之间加一定电压时的直流输入电阻。

(6) 低频互导(跨导) $g_m$

在  $v_{DS}$  等于常数时，漏极电流的微变量和引起这个变化的**栅源**电压的微变量之比称为互导，即

$$g_m = \frac{\partial i_D}{\partial v_{GS}} \Big|_{v_{DS}}$$

互导反映了栅源电压对漏极电流的控制能力，它相当于转移特性上工作点的斜率，单位为  $mS$  或  $\mu S$ 。

# JFET主要参数

## (7)输出电阻 $r_d$

输出电阻 $r_d$ 说明了 $v_{DS}$ 对 $i_D$ 的影响，是输出特性某一点上切线斜率的倒数。在饱和区(即线性放大区)， $i_D$ 随 $v_{DS}$ 改变很小，因此， $r_d$ 的数值很大，一般在几十 $k\Omega$ 到几百 $k\Omega$ 之间。

$$r_d = \frac{\partial v_{DS}}{\partial i_D} \Big|_{v_{GS}}$$

## (8)最大耗散功率 $P_{DM}$

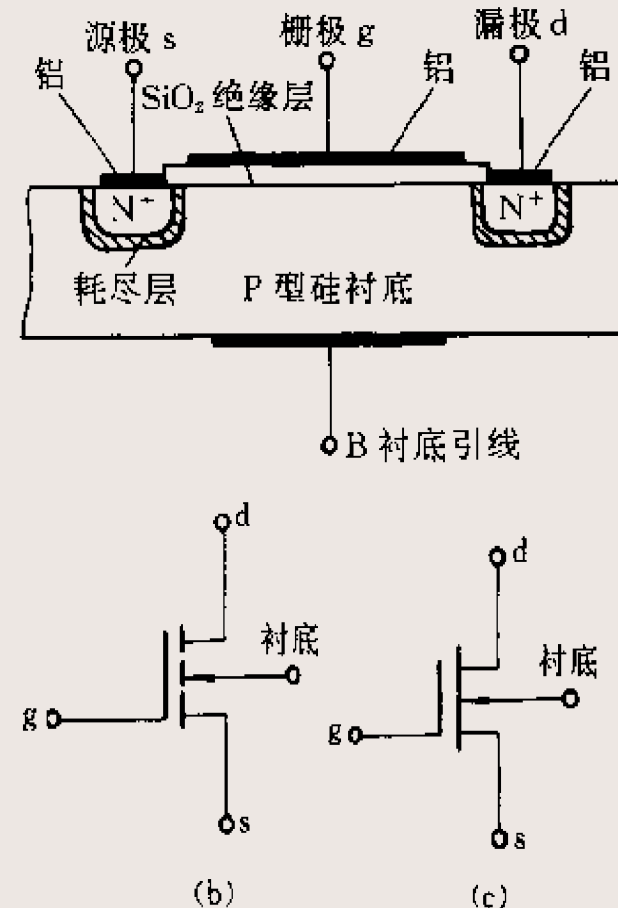
JFET的耗散功率 $P_{DM}=v_{DS}i_D$ ，耗散在管子中的功率将变为热能，使管子的温度升高。

## § 5-2 金属-氧化物-半导体场效应管

- ❖ JFET的直流输入电阻虽然一般可达 $10^6\text{-}10^9\Omega$ ，这个电阻从本质上来说是PN结的反向电阻，总会有一些反向电流存在，限制了输入电阻的进一步提高。
- ❖ MOSFET是利用半导体表面的电场效应进行工作的，也称为**表面场效应器件**。由于栅极处于不导电(绝缘)状态，输入电阻可大为提高，可达 $10^{15}\Omega$ 。
- ❖ MOSFET有N沟道和P沟道两类，其中每一类又可分为增强型和耗尽型两种。
- ❖ 耗尽型：当 $v_{GS}=0$ 时，存在导电沟道， $i_D \neq 0$ ，(显然JFET就属于耗尽型)
- ❖ 增强型：当 $v_{GS}=0$ 时，没有导电沟道，即 $i_D=0$

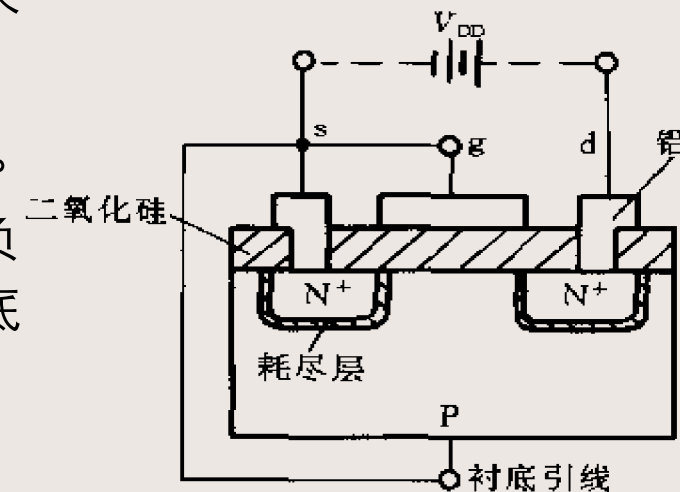
# N沟道增强型MOSFET

- ❖ N沟道增强型MOSFET以一块掺杂浓度较低，电阻率较高的P型硅半导体薄片作为衬底。
- ❖ 利用扩散方法在P型硅中形成两个高掺杂的N<sup>+</sup>区，在P型硅表面生长一层二氧化硅绝缘层，在二氧化硅表面及N<sup>+</sup>型区分别安置三个铝电极：**栅极g**、**源极s**和**漏极d**。
- ❖ 由于**栅极**与源极、漏极无电接触，称绝缘栅极。
- ❖ 箭头方向表示由P(衬底)指向N(沟道)。对于P沟道MOSFET，箭头方向与上述相反。



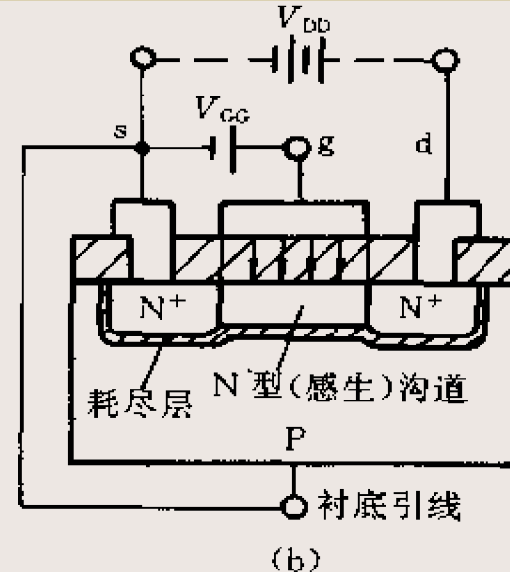
# 增强型MOSFET的工作原理

- ❖ 当栅源短接( $v_{GS}=0$ )时，源区(N<sup>+</sup>型)、衬底(P型)和漏区(N<sup>+</sup>型)就形成两个背靠背的PN结，不管 $v_{DS}$ 的极性如何，其中总有一个PN结是反偏的。
- ❖ 如果源极s与衬底相连接电源 $V_{DD}$ 负极，漏极接电源正极，漏极和衬底间的PN结是反偏的，此时漏源之间的电阻很大，没有形成导电沟道，基本上没有电流流过， $i_D=0$ 。



# 增强型MOSFET的工作原理

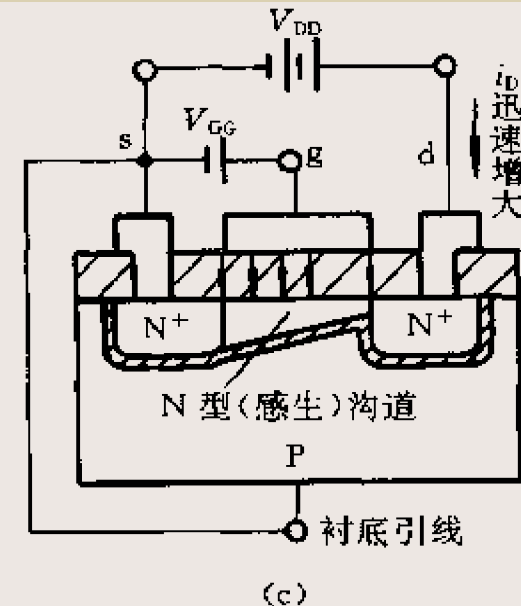
- ❖ 若在栅源之间加正向电压，则栅极和P型硅片相当于以二氧化硅为介质的电容器，在正的栅源电压作用下，介质中产生一个垂直于半导体表面的由栅极指向P型衬底的电场(绝缘层很薄，几伏的栅源电压 $V_{GS}$ ，可产生高达 $10^5$ - $10^6$ V/cm的强电场)。
- ❖ 栅极附近的P型衬底中的空穴被排斥，留下不能移动的受主离子，形成耗尽层，同时P型衬底中的少子电子被吸引到衬底表面。
- ❖ 当正的栅源电压到达一定数值时，这些电子在栅极附近的P型硅表面形成了一个N型薄层，称为反型层或感生沟道。



(b)

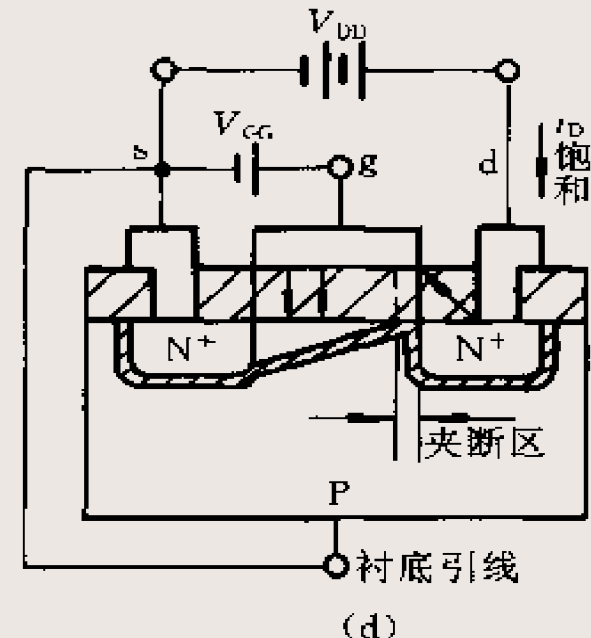
# 增强型MOSFET的工作原理

- ❖ 栅源电压 $v_{GS}$ 愈正，作用于半导体表面的电场就愈强，吸引到P型硅表面的电子就愈多，感生沟道将愈厚，沟道电阻将愈小。
- ❖ 原来被P型衬底隔开的两个N<sup>+</sup>型区(源区和漏区)被感生沟道连在一起。在正的漏极电源 $V_{DD}$ 作用下，将有漏极电流 $i_D$ 产生。
- ❖ 把在漏源电压作用下开始导电时的栅源电压叫做开启电压 $V_T$ 。
- ❖ 当 $v_{GS} \geq V_T$ ，外加较小的 $v_{DS}$ 时，漏极电流 $i_D$ 将随 $v_{DS}$ 上升迅速增大，但由于沟道存在电位梯度，因此沟道厚度是不均匀的；靠近源端厚，靠近漏端薄。



# 增强型MOSFET的工作原理

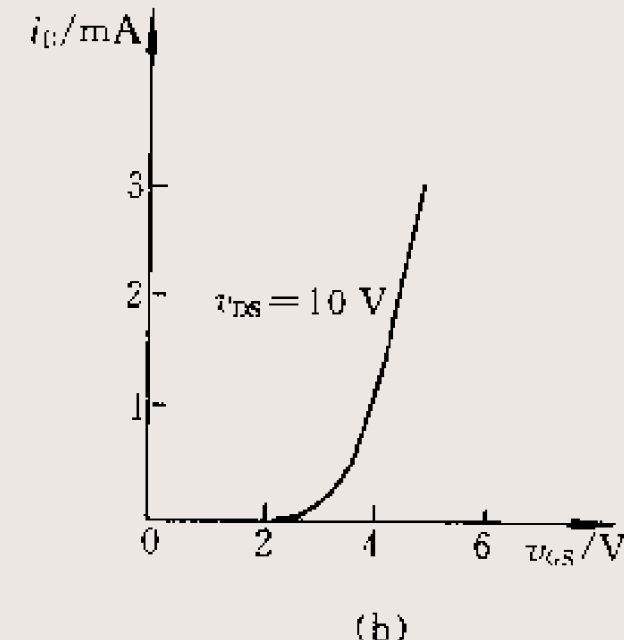
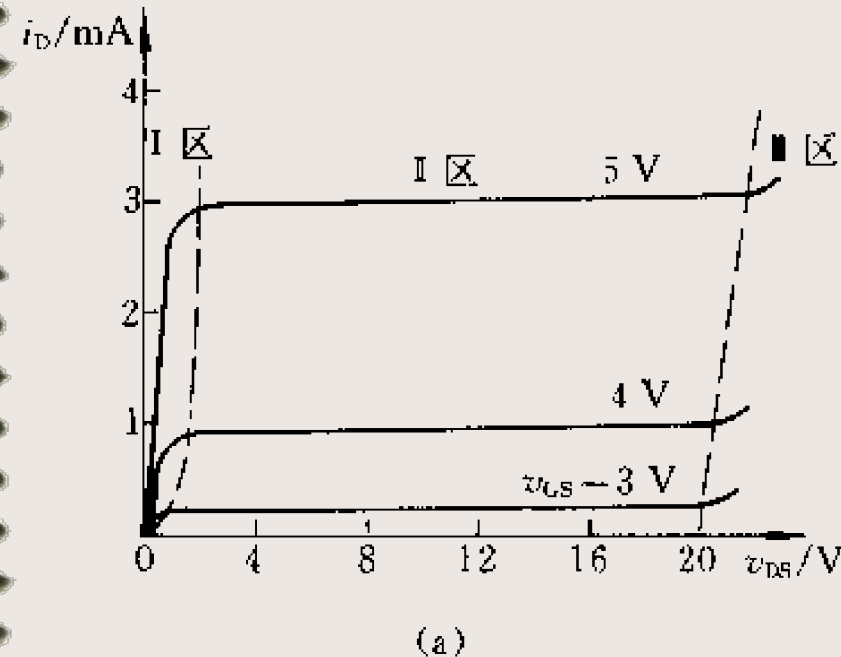
- 当 $v_{DS}$ 增大到一定数值(例如 $v_{GD} = v_{GS} - v_{DS} = V_T$ )，靠近漏端被夹断， $v_{DS}$ 继续增加，将形成一夹断区。和JFET相类似，沟道被夹断后， $v_{DS}$ 上升， $i_D$ 趋于饱和。



# 特性曲线

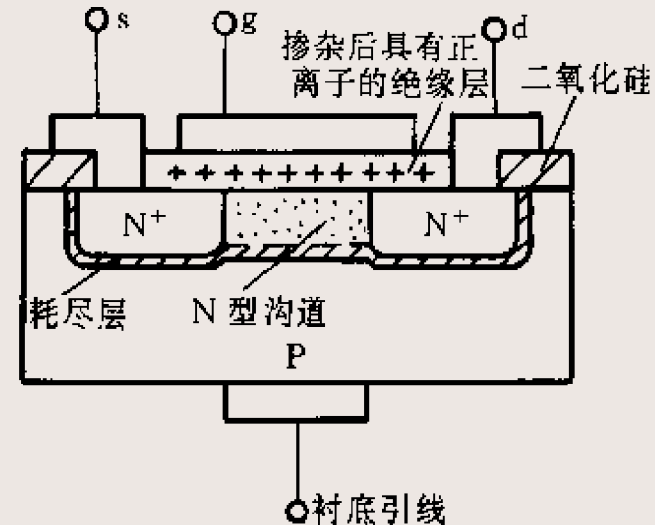
- ◆ N沟道增强型MOSFET的输出特性和转移特性如图。在恒流区内，N沟道增强型MOSFET的 $i_D$ 可近似地表示为

$$i_D = I_{D0} \left( \frac{v_{GS}}{V_T} - 1 \right)^2 \quad v_{GS} > V_T \quad I_{D0} \text{是 } v_{GS} = 2V_T \text{ 时的 } i_D \text{ 值。}$$



# N沟道耗尽型MOSFET

- ❖ N沟道耗尽型MOSFET的结构与增强型基本相同。但在制造时，由于在二氧化硅绝缘层中掺有大量的正离子，即使在 $v_{GS}=0$ 时，由于正离子的作用，也能在源区和漏区的中间P型衬底上感应出较多的负电荷，形成N型沟道，将源区和漏区连通起来。
- ❖ 在栅源电压为零时，在正的 $v_{DS}$ 作用下，也有较大的漏极电流 $i_D$ 由漏极流向源极。若栅源电压 $v_{GS}$ 为负，则使沟道中感应的负电荷减少，从而使漏极电流减小，这与JFET相类似，所以称它为耗尽型。

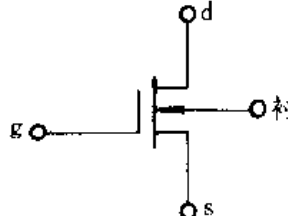
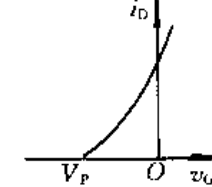
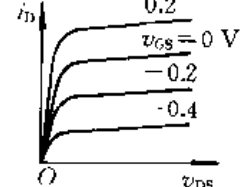
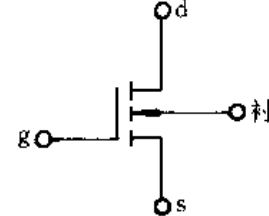
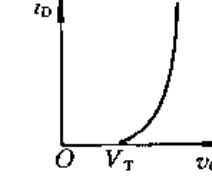
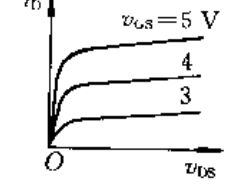
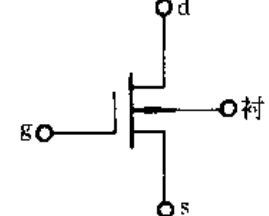
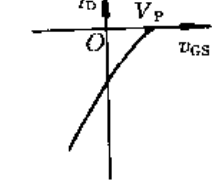
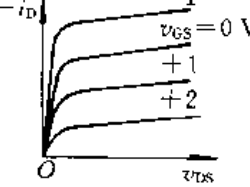


# 两种N沟道耗尽型FET比较

- ❖ N沟道JFET在负的 $v_{GS}$ 下工作，当 $v_{GS} > 0$ 时，将使PN结处于正向偏置，产生较大的栅流，破坏了它对漏极电流 $i_D$ 的控制作用。
- ❖ N沟道耗尽型MOSFET在 $v_{GS} > 0$ 时，由于绝缘层的存在，并不会产生PN结的正向电流，而是在沟道中感应出更多的负电荷。在 $v_{DS}$ 作用下， $i_D$ 将具有更大的数值。N沟道耗尽型MOSFET可以在正或负的栅源电压下工作，而且基本上无栅流，这是耗尽型MOSFET的一个重要特点。

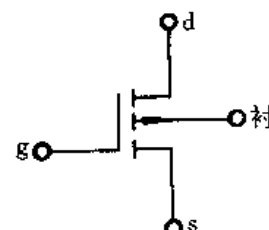
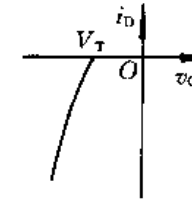
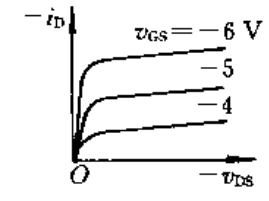
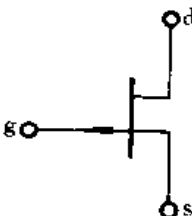
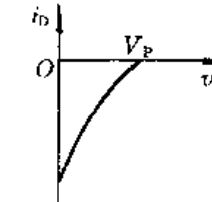
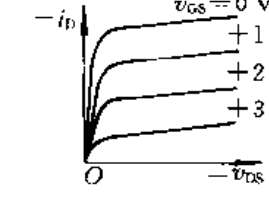
# 各种FET的特性比较

表 4.3.1 各种场效应管的特性比较

结构种类	工作方式	符 号	电压极性		转移特性 $i_D = f(v_{GS})$	输出特性 $i_D = f(v_{DS})$
			$V_P$ 或 $V_T$	$V_{DS}$		
N 沟道 MOSFET	耗尽型		(-)	(+)		
	增强型		(+)	(+)		
P 沟道 MOSFET	耗尽型		(+)	(-)		

# 各种FET的特性比较

续表

结构种类	工作方式	符 号	电压极性		转移特性 $i_D = f(v_{GS})$	输出特性 $i_D = f(v_{DS})$
			$V_P$ 或 $V_T$	$V_{DS}$		
P 沟道 MOSFET	增 强 型		(-)	(-)		
P 沟道 JFET	耗 尽 型		(+)	(-)		

# 各种FET的特性比较

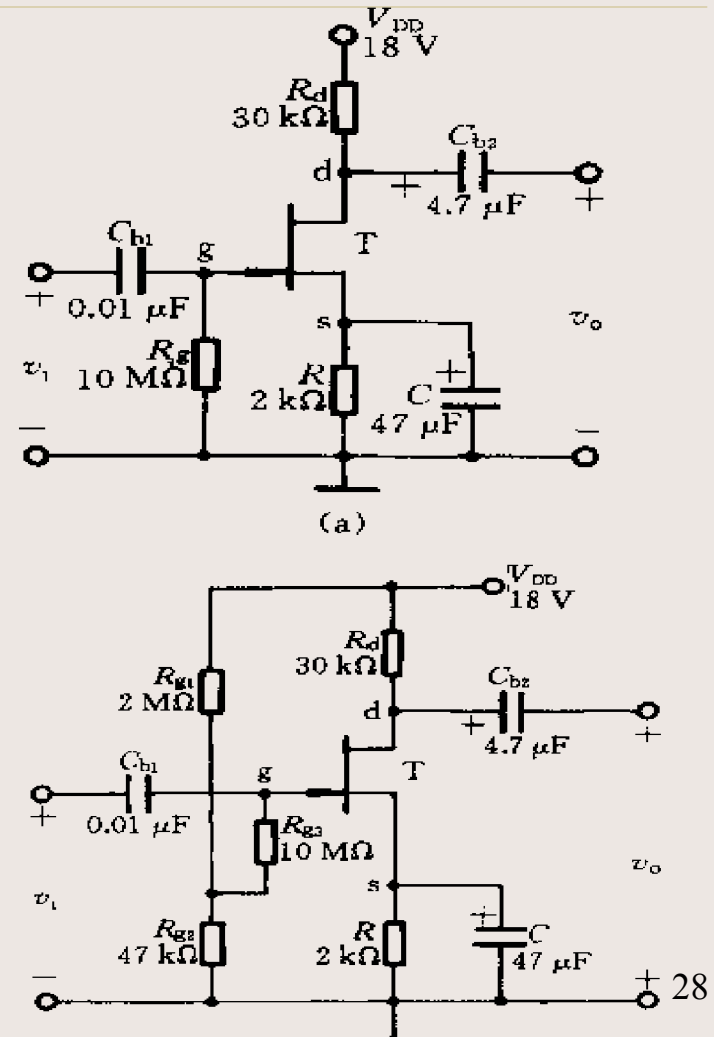
续表

结构种类	工作方式	符 号	电压极性		转移特性 $i_D = f(v_{GS})$	输出特性 $i_D = f(v_{DS})$
			$V_P$ 或 $V_T$	$V_{DS}$		
N 沟道 JFET	耗 尽 型		(-)	(+)		
N 沟道 GaAs MESFET	耗 尽 型		(-)	(+)		

注:  $i_D$  的假定正向为流进漏极。

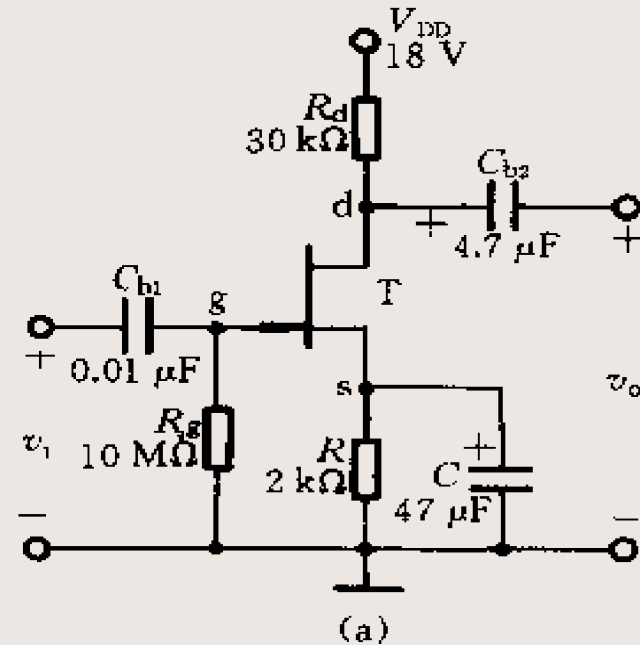
## § 5-3 场效应管放大电路

- ❖ 由FET组成放大电路和BJT一样，要建立合适的Q点。所不同的是，FET是电压控制器件，因此它需要有合适的栅极电压。
- ❖ 通常偏置的形式有两种，以N沟道耗尽型JFET为例：
  - (1)自偏压电路
  - (2)分压器式自偏压电路



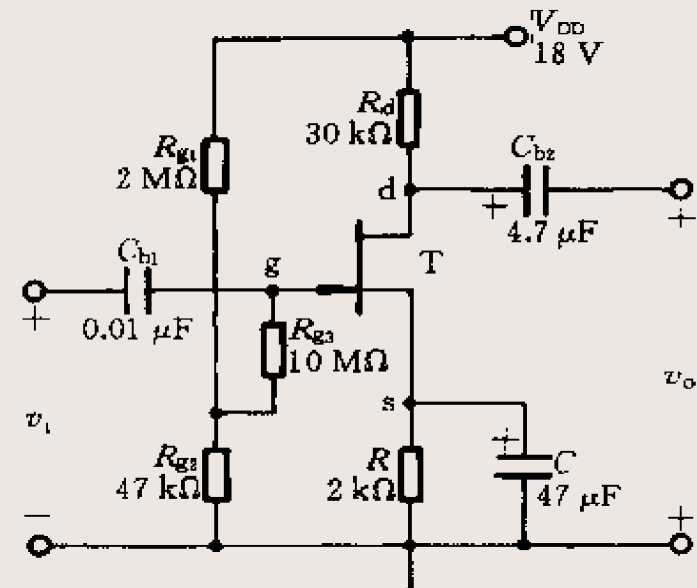
# 自偏压电路

- ❖ 在源极接入源极电阻 $R_s$ ，组成自偏压电路。
- ❖ 考虑到耗尽型FET即使在 $v_{GS}=0$ 时，也有漏源电流流过 $R_s$ ，而栅极是经电阻 $R_g$ 接地的，所以在静态时栅源之间将有负栅压 $v_{GS}=-I_D R_s$ 。
- ❖ 电容 $C$ 对 $R_s$ 起旁路作用，称为源极旁路电容。



# 分压器式自偏压电路

- 增强型FET只有栅源电压先达到某个开启电压 $V_T$ 时才有漏极电流 $I_D$ ，因此这类管子不能用于自偏压电路。
- 分压器式自偏压电路是在自偏压电路基础上加接分压电阻后组成的。
- 漏极电源 $V_{DD}$ 经分压电阻 $R_{g1}$ 和 $R_{g2}$ 分压后，通过 $R_{g3}$ 供给栅极， $V_G = V_{DD}R_{g2}/(R_{g1}+R_{g2})$ ，同时，漏极电流在源极电阻 $R$ 上也产生压降 $V_S=I_D R$ ，静态时，栅源电压为



$$V_{GS} = V_G - V_S = \frac{R_{g2}}{R_{g1} + R_{g2}} V_{DD} - i_D R$$

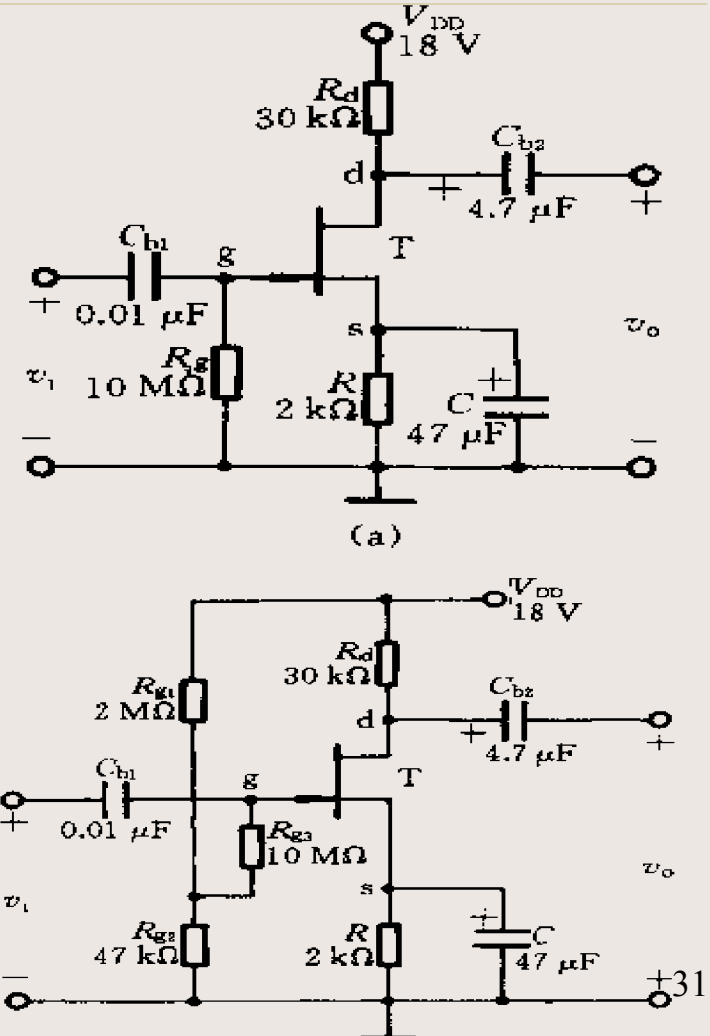
# 静态工作点的确定

- 对FET放大电路的静态分析可以采用图解法或用公式计算，图解的原理和BJT相似。
- 用公式进行计算，确定 $Q$ 点：

$$i_D = I_{DSS} \left( \frac{v_{GS}}{V_T} - 1 \right)^2$$

$$v_{GS} = -i_D R$$

$$v_{GS} = \frac{R_{g2} V_{DD}}{R_{g1} + R_{g2}} - i_D R$$

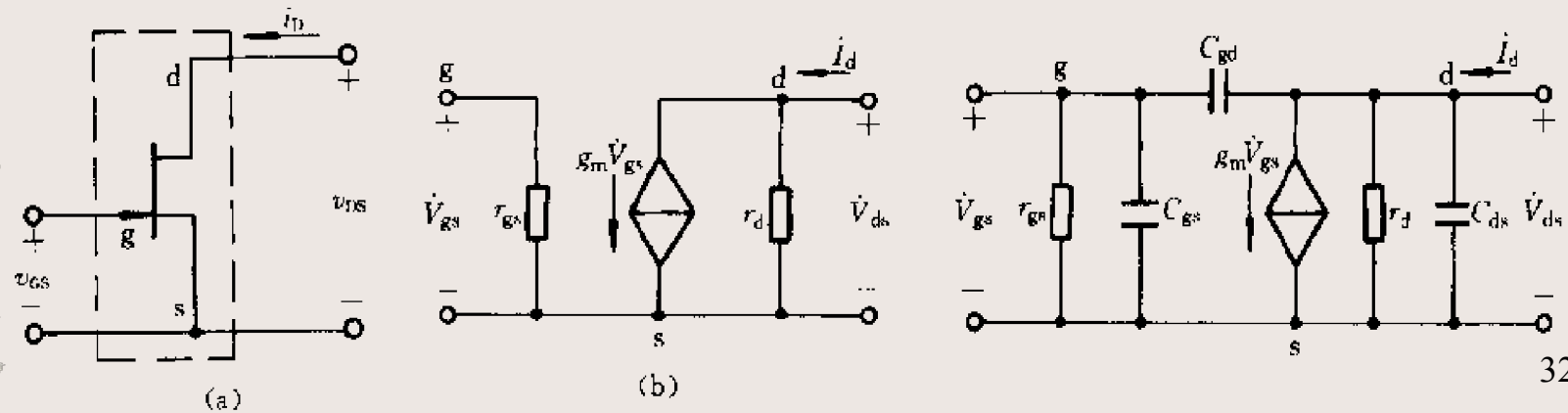


# FET的小信号模型

- ◆ FET可用互导 $g_m$ 、输出电阻 $r_d$ 和小信号参数 $\mu$ 来描述， $\mu$ 称为电压放大系数，它们有如下关系：

$$\mu = g_m r_d = -\frac{\partial v_{DS}}{\partial v_{GS}} \Big|_{I_D} \approx -\frac{\Delta v_{DS}}{\Delta v_{GS}} \Big|_{I_D} = -\frac{v_{ds}}{v_{gs}} \Big|_{I_D}$$

- ◆ 如果用 $g_m \dot{V}_{gs}$ 表示电压  $\dot{V}_{gs}$ 控制的电流源，用 $r_d$ 表示电流源电阻，作为双口有源器件的FET可导出其小信号模型，输入电阻 $r_{gs}$ 是栅源间的电阻，其值极大。



# 应用小信号模型分析放大电路

- ◆ 中频电压增益

$$\dot{V}_i = \dot{V}_{gs} + g_m \dot{V}_{gs} R = \dot{V}_{gs} (1 + g_m R)$$

$$\dot{V}_o = -g_m \dot{V}_{gs} R_d$$

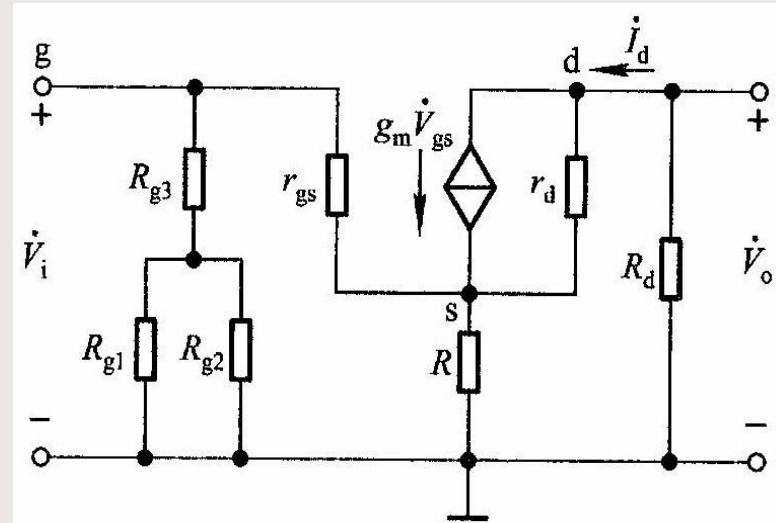
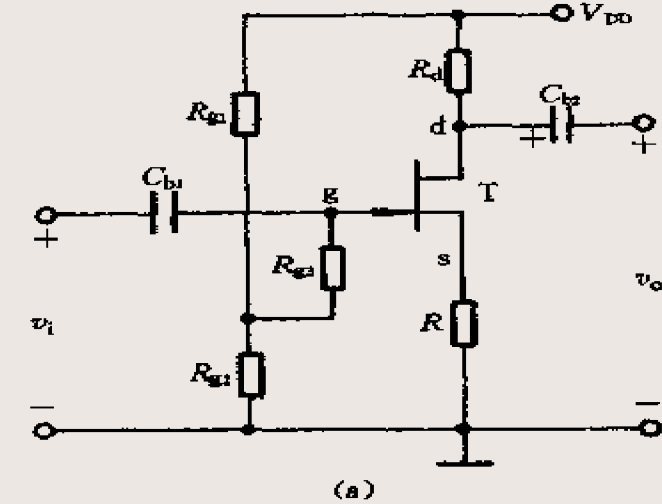
$$\dot{A}_{Vm} = -\frac{g_m R_d}{1 + g_m R}$$

- ◆ 输入电阻

$$\begin{aligned} R_i &= r_{gs} \parallel [R_{g3} + (R_{g1} \parallel R_{g2})] \\ &\approx R_{g3} + (R_{g1} \parallel R_{g2}) \end{aligned}$$

- ◆ 输出电阻

$$R_o \approx R_d \quad \because r_d \gg R_d$$



# 例

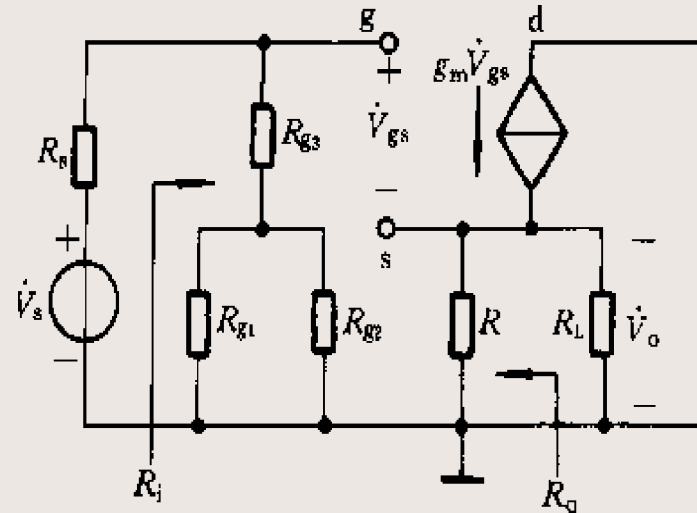
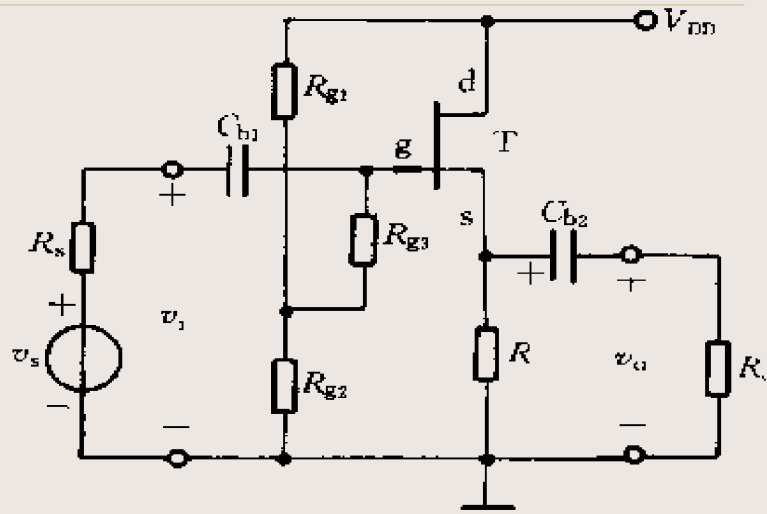
典型的共漏电路—源极输出器，试求其中频电压增益  $\dot{A}_{V_m}$ 、输入电阻  $R_i$  和输出电阻  $R_o$ 。

解 (1) 中频电压增益

$$\dot{V}_o = g_m \dot{V}_{gs} (R \parallel R_L)$$

$$\dot{V}_{gs} = \dot{V}_i - \dot{V}_o$$

$$\dot{A}_{V_m} = \frac{\dot{V}_o}{\dot{V}_i} = \frac{g_m (R \parallel R_L)}{1 + g_m (R \parallel R_L)}$$



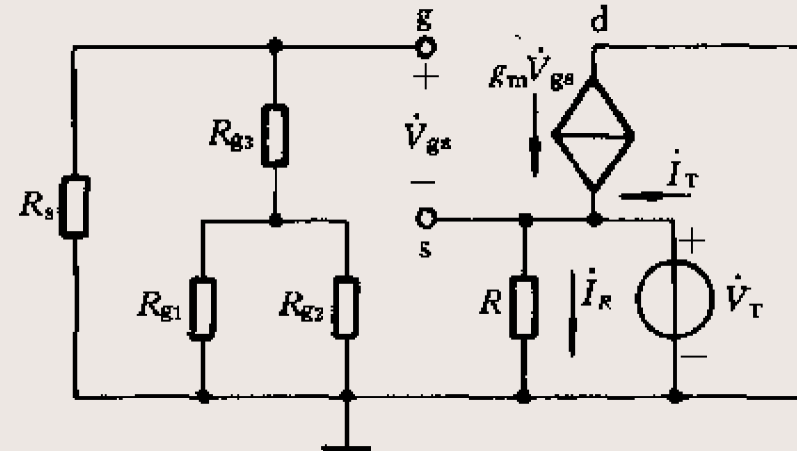
# 解答

(2) 输入电阻

$$R_i = R_{g3} + (R_{g1} \parallel R_{g2})$$

(3) 输出电阻

令  $\dot{V}_s = 0$  保留其内阻  $R_s$ ，将  $R_L$  开路，在输出端加一测试电压  $\dot{V}_T$ ，共漏电路输出电阻  $R_o$  的电路如图。



$$\dot{I}_T = \dot{I}_R - g_m \dot{V}_{gs} = \frac{\dot{V}_T}{R} - g_m \dot{V}_{gs} \quad \dot{V}_{gs} = -\dot{V}_T$$

$$\dot{I}_T = \dot{V}_T \left( \frac{1}{R} + g_m \right) \Rightarrow R_o = \frac{\dot{V}_T}{\dot{I}_T} = R \parallel \frac{1}{g_m}$$

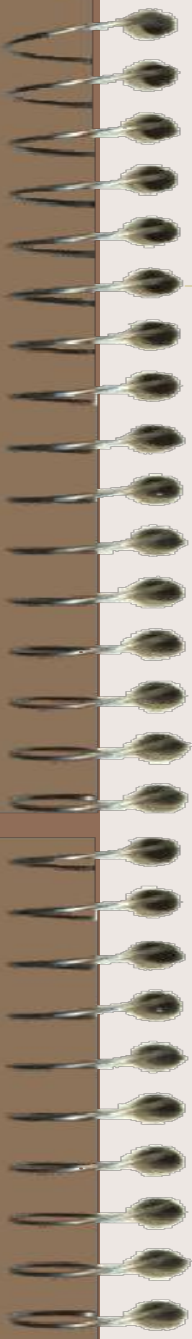
# 三种基本放大电路的性能比较

表 4.4.1 FET 三种基本放大电路的比较

电路形式	共源极电路	共漏极电路(源极输出器)	共栅极电路 <sup>*</sup>
电压增益 $\hat{A}_v$ (未考虑极间电容时)	$\hat{A}_v = -g_m(R_d \parallel r_d) \approx -g_m R_d$ (当 $r_d \gg R_d$ 时)	$\hat{A}_v = \frac{g_m R}{1 + g_m R + \frac{R}{r_d}} \approx \frac{g_m R}{1 + g_m R}$	$\hat{A}_v \approx \frac{\left(g_m + \frac{1}{r_d}\right) R_d}{1 + (R_d/r_d)} \approx g_m R_d$ (当 $r_d \gg R_d$ 时)
输入电阻 $R_i$	$R_g^*$	$R_g^*$	$\frac{1}{g_m} \parallel R$
输入电容 $C_i$	$C_{gs} + (1 - \hat{A}_v) C_{ds}$	$C_{ds} + C_{gs}(1 - \hat{A}_v)$	$C_{gs}$
输出电阻 $R_o$	$R_d \parallel r_d$	$\frac{1}{g_m} \parallel R$	$R_d \parallel r_d [1 + g_m(R_s \parallel R)]$ ( $R_s$ 为信号源内阻)
特点	1. 电压增益大 2. 输入电压与输出电压反相 3. 输入电阻高, 输入电容大 4. 输出电阻主要由负载电阻 $R_d$ 决定	1. 电压增益小于 1, 但接近 1 2. 输入输出电压同相 3. 输入电阻高而输入电容小 4. 输出电阻小, 可作阻抗变换用	1. 电压增益大 2. 输入输出电压同相 3. 输入电阻小, 输入电容小 4. 输出电阻大

\*  $R_g = R_{g1} + (R_{g1} \parallel R_{g2})$

\* \* 共栅接法因栅极与沟道之间的高阻未发挥作用, 故少用。



# 作业

---

习题

5.1.1 , 5.3.3 , 5.3.7 , 5.3.8

预习第六章